

$$E'V' = \frac{I' \Delta e}{I' \Delta e}$$

$$e^d = I^d (34\%)$$

$$e^e = I^e (240\%)$$

$$e^d = I^d (e^a + e^c)$$

$$e^e = I^e (e^a + e^c + 200)$$

$I' (\omega \cdot a)$	V_{od} Volts	V_{amb}/K_{dt} Volts	V_{mb} Volts	V_{ed} Volts	$\frac{V_{amb}}{K_{ed}}$	$\frac{V_{amb}}{K_{ed}}$	V_{e^c} Volts	V_{mb} Volts	V_{e^e} Volts	V_{e^d} Volts	$E'V'$
1	6.80	1.412	.382	188.0	.888	9.132	.362	185.2	1220		
2	6.01	1.200	.380	181.2	.888	2.320	.332	181.2	1280		
3	1.10	1.450	.302	148.2	.832	4.312	.21	132	1010		
4	2.22	1.382	.18	118.1	.844	3.200	.55	110	1130		
5	4.21	1.200	.13	85.0	.808	5.952	.11	82	1940		
6	3.4	1.32	.10	10.2	.802	1.220	.13	92	5410		
7	5.08	5.080	.08	43.4	.822	.82	.08	40	3920		
8	1.38	—	.04	51.9	.840	0	.04	50	—		

Figura 10. 1. Diagrama de bloques del generador del grupo XI.

1.- En la figura 10. 1 se muestra el circuito eléctrico y los parámetros que representan al generador del grupo XI. Obtención del diagrama block con referencia a la figura 10. 2.

$$e_1 = I'g \cdot \dots$$

$$e_1 = I'g \cdot \dots$$

CAPITULO II

$$I'g = \dots$$

Volts = ...

$$e_2 = K_g \cdot \dots$$

Surting = ...

$$e_2 = \dots$$

Diagrama block

Estado Transitorio

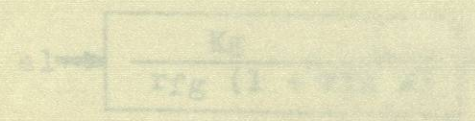


Diagrama block

Estado Estable

PARÁMETROS Y CARACTERÍSTICAS

DEL GENERADOR DEL GRUPO XI

Y DEL MOTOR DE 3 H.P. DE LA

MÁQUINA GENERALIZADA.

1.- En la figura No. 5 se muestra el circuito eléctrico y los parámetros que representan al generador del grupo XI.

Obtención del diagrama block con referencia a la figura No. 5.

$$e_l = i_{fg} r_{fg} + L_{fg} \frac{di_{fg}}{dt}$$

$$e_l = i_{fg} r_{fg} (1 + \tau_{fg} P)$$

$$i_{fg} = \frac{e_l}{r_{fg} (1 + \tau_{fg} P)} \quad (6)$$

Voltaje inducido en el generador (tercer paso de amplificación)

$$e_g = K_g i_{fg} \quad (7)$$

Sustituyendo (6) en (7)

$$e_g = \frac{K_g e_l}{r_{fg} (1 + \tau_{fg} P)} \quad (8)$$

Diagrama block del generador.

Estado Transitorio

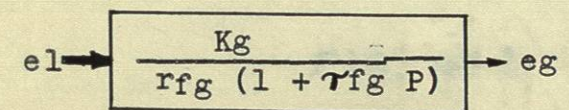


Diagrama block

Estado Estable.

1.- En la figura No. 5 se muestra el circuito eléctrico y los parámetros que representan al generador del grupo XI.

$$e_1 = I_g r_g + L_g \frac{di_g}{dt}$$

$$e_1 = I_g r_g (1 + \tau_g p)$$

$$I_g = \frac{e_1}{r_g (1 + \tau_g p)}$$

(6)

Voltaje inducido en el generador (tercer paso de ampli-
 ficación)

$$e_g = K_g I_g$$

(7)

Sustituyendo (6) en (7)

$$e_g = \frac{K_g e_1}{r_g (1 + \tau_g p)}$$

(8)

Diagrama block del generador.
 Estado Transitorio

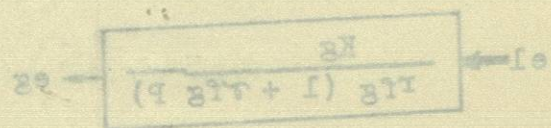
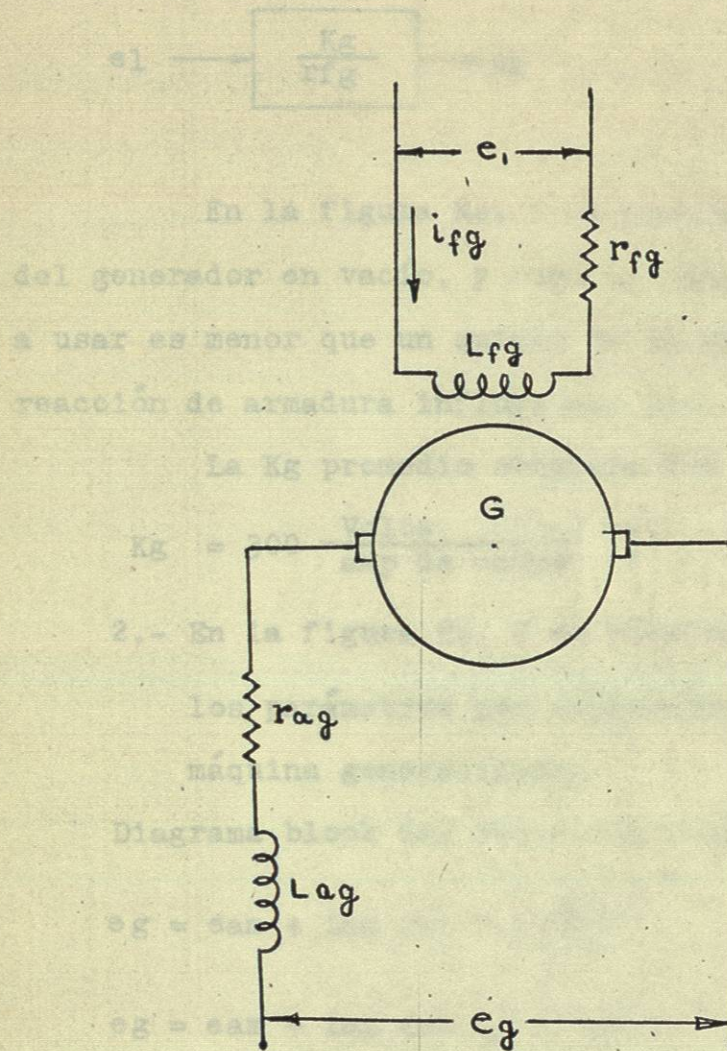


Diagrama block
 Estado Estable.



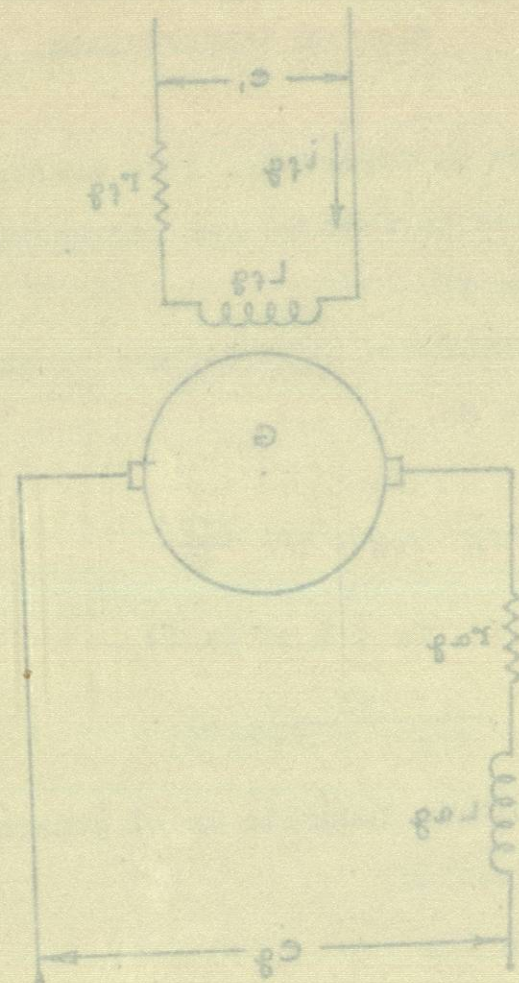
$$r_{fg} = 200 \cdot \Omega$$

$$r_{ag} = 2 \cdot \Omega$$

$$L_{fg} = 4 \cdot h.$$

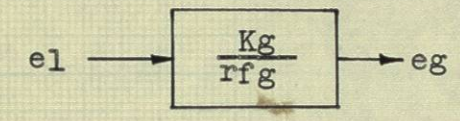
$$L_{ag} = 4 \cdot m.h.$$

FIG. N° 5



$r_{17} = 5 \cdot \Omega$ $r_{18} = 500 \cdot \Omega$
 $r_{07} = 4 \cdot \Omega$ $L_{08} = 1 \cdot H$

FIG. No. 2



En la figura No. 6 se muestra la curva característica del generador en vacío, y como el rango de corriente que se va a usar es menor que un quinto de la nominal del generador la reacción de armadura influye muy poco.

La K_g promedio obtenida fué

$$K_g = 300 \frac{\text{Volts}}{\text{amp de campo}}$$

2.- En la figura No. 7 se muestra el diagrama eléctrico y los parámetros que representan al motor de 3H.P. de la máquina generalizada.

Diagrama block del motor con relación a la figura No. 7.

$$e_g = e_{am} + i_{am} r_{am} + L \frac{di_{am}}{dt} \quad (8)$$

$$e_g = e_{am} + i_{am} r_{am} (1 + \tau \text{ amp}) \quad (9)$$

Fuerza contra electromotriz.

$$e_{am} = C l \phi i_f m \quad W_m = K_l W_m \quad (10)$$

Donde $K_l = C l \phi i_f m$.

Análisis de la carga

$$T_m = K_l i_{am} = T_L + J \frac{dW_m}{dt}$$

De donde

$$J = J_m + J_L$$

$$i_{am} = \frac{T_L}{K_l} + \frac{J_p W_m}{K_l} \quad (11)$$

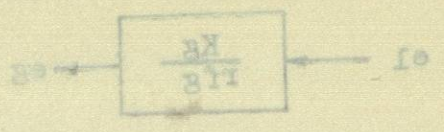
Sustituyendo (10) y (11) en (9)

BIBLIOTECA UNIVERSITARIA
ALFONSO REYES

020250

BIBLIOTECA UNIVERSITARIA
ALFONSO REYES

FIG. No. 6



En la figura No. 6 se muestra la curva característica del generador en vacío, y como el rango de corriente que se va a usar es menor que un quinto de la nominal del generador la resonancia de armadura influye muy poco. La K_g promedio obtenida fue

$$K_g = \frac{300 \text{ Volts}}{\text{amp de campo}}$$

2.- En la figura No. 7 se muestra el diagrama eléctrico y los parámetros que representan al motor de J.H.P. de la máquina generalizada.

Diagrama block del motor con relación a la figura No. 7.

(8)
$$e_g = e_{am} + i_{am} r_{am} + L \frac{di_{am}}{dt}$$

(9)
$$e_g = e_{am} + i_{am} r_{am} (1 + T \text{ amp})$$

Fuerza contra electromotriz.

(10)
$$e_{am} = C_1 \Phi \dot{r}_m = K_1 \dot{W}_m$$

Donde $K_1 = C_1 \Phi \dot{r}_m$.

Análisis de la carga

(11)
$$T_m = K_1 i_{am} = T_1 + J \frac{di_{am}}{dt}$$

De donde

$$J = J_m + J_L$$

$$i_{am} = \frac{T_L}{K_1} + \frac{J_p W_m}{K_1}$$

Sustituyendo (10) y (11) en (9)

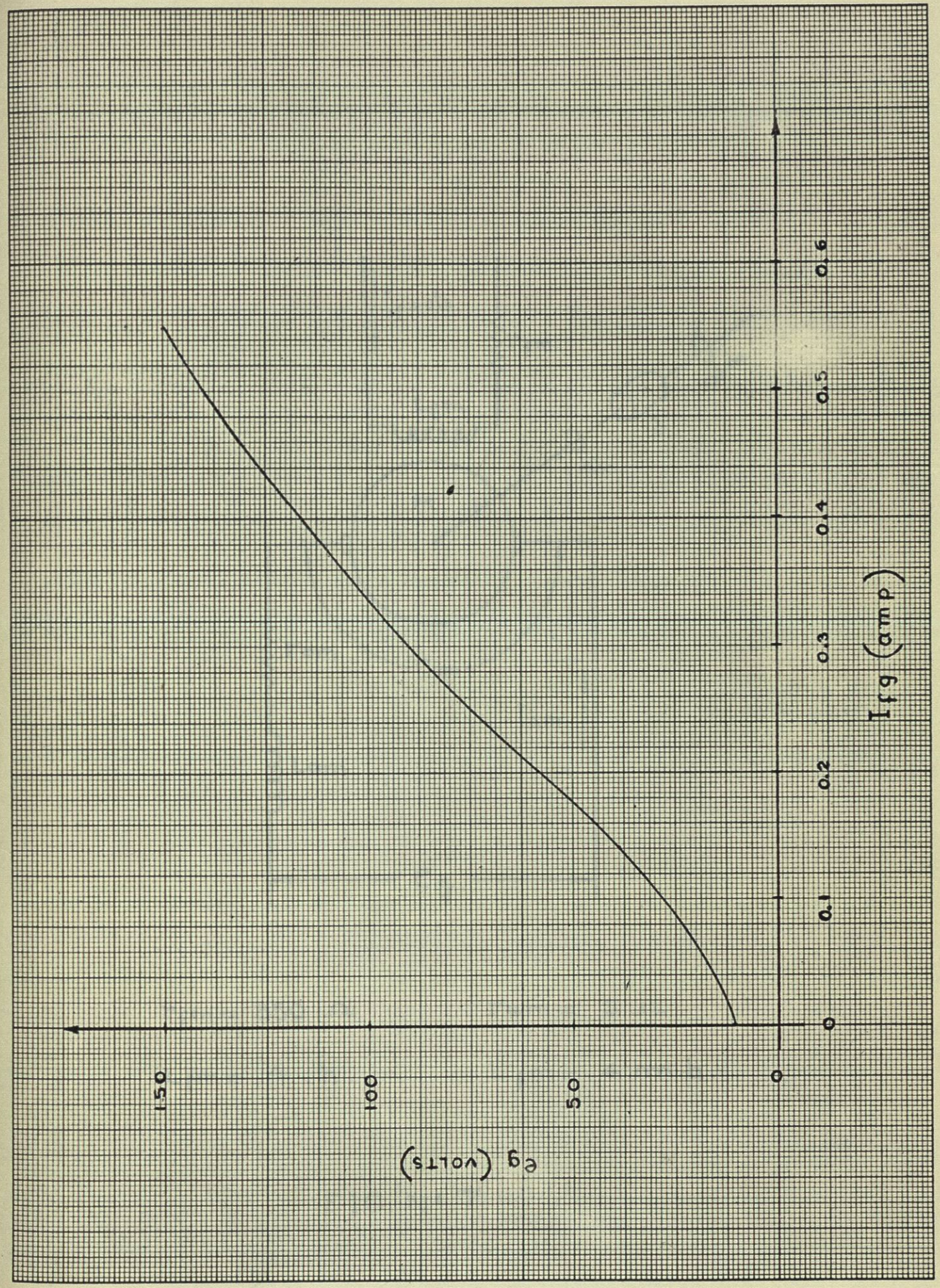


FIG N° 6